

# 띠연신 방법에 의한 초고분자량 폴리에틸렌 젤 필름의 최적 농도 및 결정화 온도의 결정

지병철, 정길숙, 최경식\*, 한성수\*\*, 김준호\*\*, 윤원식\*\*

경북대학교 염색공학과, \*경북산업대학교 섬유공학과, \*\*영남대학교 섬유학부

## 1. 서론

강직한 구조를 가지는 새로운 고분자를 합성하는 방법 외에도 폴리에틸렌과 같은 유연한 분자사슬로 구성된 기존의 범용성 섬유 고분자의 사슬을 가능한 한 섬유축 방향으로 배향시켜 고강력, 고탄성 섬유 고분자를 제조 할 수 있다[1-3].

유연한 고분자 사슬을 재편성하는 경우는 용액 상태로부터 결정화된 라멜라 구조를 어떻게 잘 펼쳐진 사슬구조로 바꾸어 줄 수 있는가, 그리고 연신시에 어떻게 용력이 분자 사슬에 고르게 잘 분포되도록 해 줄 수 있는가가 그 관건으로서 여러 가지 방법이 있다.

이들 가운데 젤 연신법은 1970년도 후반부터 지금까지 Matsuo[4] 등 많은 사람들에 의해 연구되어 왔다. 그중 테칼린(decalin)을 용매로 한 묽은 농도의 초고분자량 폴리에틸렌(UHMW PE)용액을 냉각시키면 젤이 형성되며, 건조된 젤은 300여배 정도까지 연신되는 초연신을 나타내어 우수한 역학적 특성을 얻을 수 있는 것으로 나타나 있다.

초고분자량 폴리에틸렌(UHMW PE) 젤의 모폴로지나 역학적 성질은 용액 물성[3,5], 젤화 조건[6], 연신방법 및 연신조건 등에 따라 다르다.

특히, 최대 강도를 얻기 위해서는 용액에서 분자쇄의 엉킴이 일어나기 시작하는 임계농도에서 젤을 준비하는 것이 가장 유효한 것으로 알려져 있다. 이 임계농도는 용액의 농도뿐만 아니라, 결정화 온도에 의해서도 좌우된다. 그러므로, 각 농도별 결정화 온도를 변화시켜 그 물성을 비교하고자 한다.

한편 띠연신법은 Kunugil[7], Kim[8] 등에 의하여 주로 연구되어진 것으로, 미연신 시험편에 일정한 하중을 가한 상태에서 띠열판을 시험편의 아래에서 위로 일정한 속도로 이동시켜 띠열판 내에서만 시료의 급격한 변형을 일으키게 하여 연신시키는 방법이다. 이 때 시험편의 좁은 범위(띠열판의 두께)에서만 열을 받으며 또 가해준 하중은 열을 받아 연화된 좁은 띠 부분에만 침중적으로 작용하므로 많은 결정핵 생성을 억제할 수 있고, 분자사슬의 되접힘을 방지하여 완전히 펼쳐진 분자사슬을 쉽게 형성시킬 수 있다.

여기서는 초고분자량 폴리에틸렌(UHMW PE)을 농도별로 젤화/결정화 온도를 변화시켜 필름을 제조한 후, 이를 띠연신하여 그 연신비로서 최적농도 및 각 농도별 최적 결정화 온도를 결정할 수 있는지를 살펴보고자 한다.

## 2. 실험

실험에 사용된 폴리에틸렌은 Hoechst사의 Hostalen GUR 415로서, 점도 평균분자량이  $7.3 \times 10^6 \text{ g/mol}$ , 밀도가  $0.93 \text{ g/cm}^3$ 이다.

초고분자량 폴리에틸렌(UHMW PE)을 산화 방지제 2,6-di-tert-butyl-p-cresol 소량과 함께 테칼린(Decalin)에 넣어 질소 기류하에  $135^\circ\text{C}$ 까지 승온하여 40분간 유지시켜 0.3%, 0.5%, 0.7%, 1.0%(W/V)농도의 균일한 폴리에틸렌 용액을 만들고, 이것을 알루미늄 용기에 부어서 액체 질소 온도( $-180^\circ\text{C}$ )/ $-30^\circ\text{C}/25^\circ\text{C}$ ,  $-30^\circ\text{C}/25^\circ\text{C}$ ,  $0^\circ\text{C}/25^\circ\text{C}$ , ( $10^\circ\text{C}$ ),  $25^\circ\text{C}$ , ( $40^\circ\text{C}$ ),  $50^\circ\text{C}$ ,  $70^\circ\text{C}$ 에서 겔을 형성시킨 후 건조시켜서  $135\mu\text{m}$  정도의 겔 필름을 만들었다.

여기서 액체 질소 온도( $-180^\circ\text{C}$ )/ $-30^\circ\text{C}/25^\circ\text{C}$ 는 액체 질소 온도( $-180^\circ\text{C}$ )로 급냉시켜 30분,  $-30^\circ\text{C}$ 로 급냉시켜 60시간 유지 후  $25^\circ\text{C}$ 에서 건조,  $-30^\circ\text{C}/25^\circ\text{C}$ ,  $0^\circ\text{C}/25^\circ\text{C}$ 도 각각  $-30^\circ\text{C}$ ,  $0^\circ\text{C}$ 로 급냉시켜 60시간 유지 후  $25^\circ\text{C}$ 에서 건조시킨 것을 말한다.

이렇게 준비된 겔 필름을 폭  $0.5\text{cm}$ , 길이  $10\text{cm}$  정도로 잘라서 띠연신하였다.

이때 연신용력  $4.5\text{ MPa}$ , 연신온도  $130^\circ\text{C}$ , 띠열판 속도  $10\text{mm/min}$ 을 기준으로 하여, 연신온도를 변화시키면서 연신하였다.

## 3. 결과 및 고찰

Fig. 1은,  $25^\circ\text{C}$ 에서 겔화/결정화시킨 필름을 연신용력  $4.5\text{ MPa}$ , 띠열판 속도를  $10\text{mm/min}$ 으로 고정시킨 후 연신온도를  $90^\circ\text{C}$ ,  $105^\circ\text{C}$ ,  $120^\circ\text{C}$ ,  $130^\circ\text{C}$ 로 변화 시켰을 때 농도에 따른 1회 띠연신비를 나타낸 것이다.

농도별 연신비를 볼 때, 연신온도가 높아질수록 연신비가 증가하였으며, 또 모든 연신온도별 연신비가  $0.5\%$ 농도에서 가장 높고,  $0.3\%$ 로 농도가 내려가거나,  $0.7\%$ ,  $1.0\%$ 로 농도가 증가할수록 연신비가 작아진다.

겔 필름의 연신시 분자량이 충분히 큰 고분자인 경우 최대 연신비는 겔이 만들어지는 용액의 농도에 크게 의존한다. 겔 필름은 용융 필름보다 훨씬 높은 비의 연신이 가능한데 이것은 겔필름 제조시 희박 용액 상태에서 분자 사슬들의 엉킴을 충분히 풀어주어, 용융 필름에 비해 겔 필름의 분자당 사슬엉킴이 많이 감소했기 때문이다. 그러나 사슬엉킴이 너무 적을 경우에는 연신시 분자간의 미끄러짐이 많아 고연신이 이루어지지 않는다.

겔화/결정화 온도  $25^\circ\text{C}$ 에서 제조한 겔 필름중  $0.5\%$  농도에서 1회 띠연신비가 제일 높은 것은 이 농도에서 제조한 필름이 최대연신에 가장 적당한 사슬엉킴을 지니고 있기 때문으로 생각된다.

Fig. 2, Fig. 3, Fig. 4는  $0.3\%$ ,  $0.5\%$ ,  $0.7\%$  농도의 필름을 다른 냉각 조건에서 겔화/결정화시킨 후 연신용력  $4.5\text{ MPa}$ , 띠열판 속도를  $10\text{mm/min}$ 으로 고정한 후 연신온도를  $90^\circ\text{C}$ ,  $105^\circ\text{C}$ ,  $120^\circ\text{C}$ ,  $130^\circ\text{C}$ 로 변화 시켰을 때의 1회 띠연신비를 나타낸 것이다.

Fig. 2, Fig. 3, Fig. 4에서 볼 때  $0.3\%$ 는  $0^\circ\text{C}$ 이하에서,  $0.5\%$ 는  $25^\circ\text{C}$ 에서,  $0.7\%$ 는  $40^\circ\text{C}$ 에서 겔화/결정화 시킨 필름의 띠연신비가 가장 높게 나타났다.

Fig. 1, Fig. 3을 기준으로  $0.5\%$  농도에서 겔화/결정화 온도  $25^\circ\text{C}$ 가 가장 높은 1회 띠연

신비를 나타낸다고 볼 때, 겔화/결정화 온도는 0.3% 농도 필름에서는 0°C 이하로 25°C보다 낮은 온도에서, 0.7% 농도의 경우 40°C로 25°C 보다 높은 온도에서 1회 띠연신비가 높아지는 것으로 나타났다.

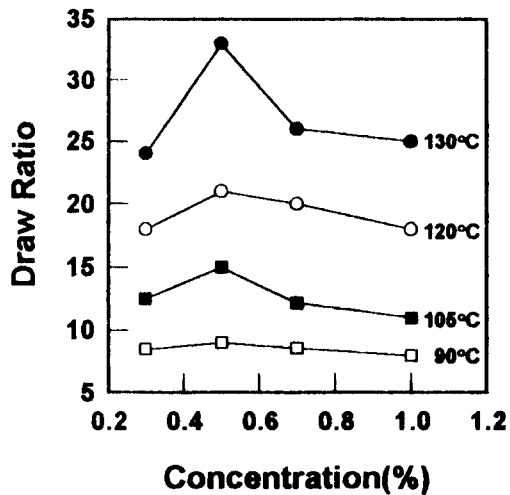


Fig. 1. Draw ratio dependence on the concentration of UHMW PE solution at various drawing temperature.

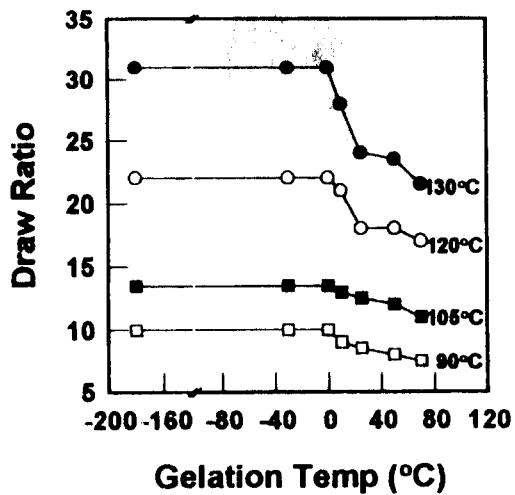


Fig. 2. Draw ratio dependence on the gelation/crystallization temperature of 0.3%(W/V) UHMW PE solution at various drawing temperature.

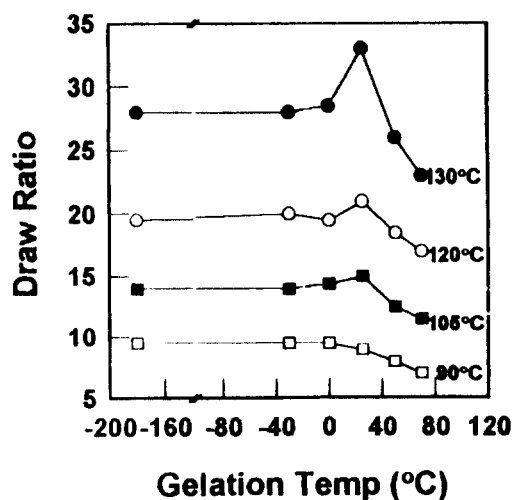


Fig. 3. Draw ratio dependence on the gelation/crystallization temperature of 0.5%(W/V) UHMW PE solution at various drawing temperature.

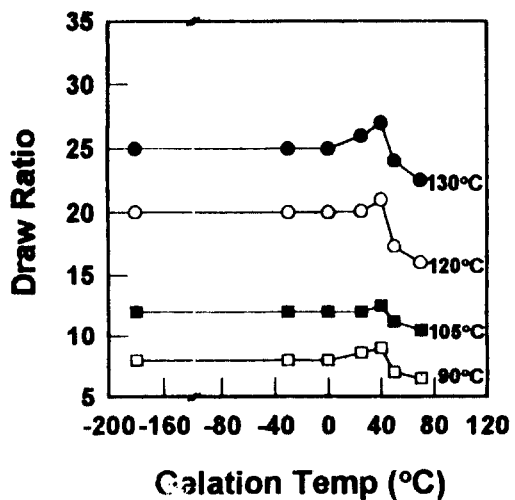


Fig. 4. Draw ratio dependence on the gelation/crystallization temperature of 0.7%(W/V) UHMW PE solution at various drawing temperature.

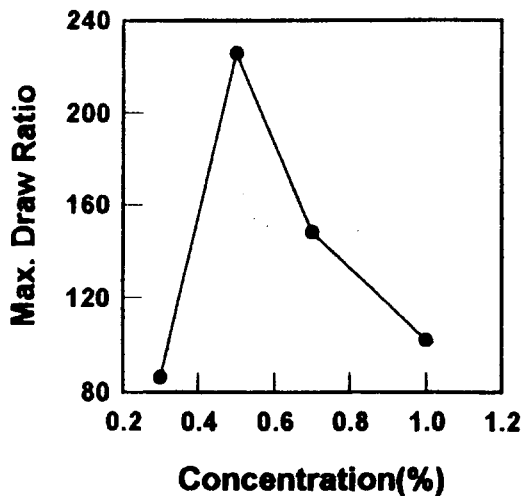


Fig. 5. Maximum draw ratio dependence on the concentration of UHMW PE solution.

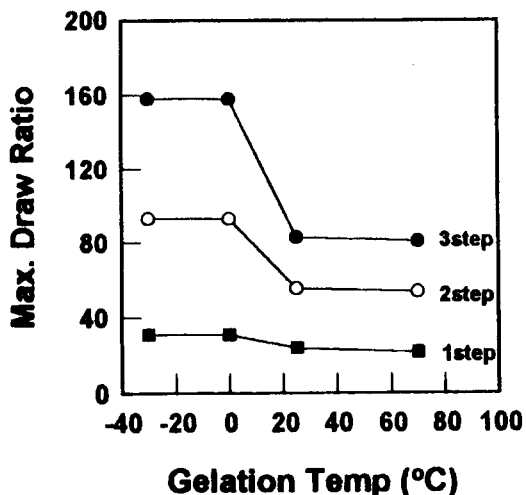


Fig. 6. Multi-step draw ratio as a function of gelation/crystallization temperature of 0.3%(W/V) UHMW PE solution.

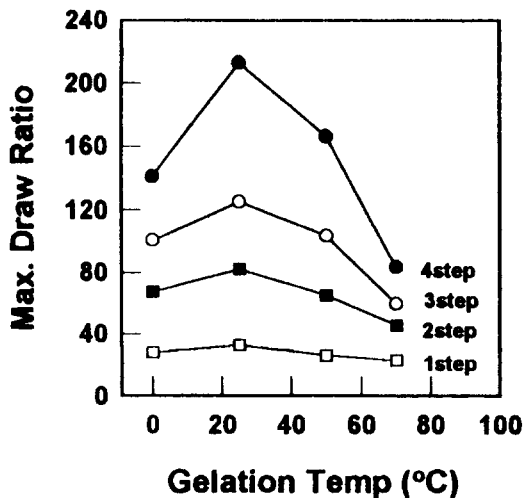


Fig. 7. Multi-step draw ratio as a function of gelation/crystallization temperature of 0.5%(W/V) UHMW PE solution.

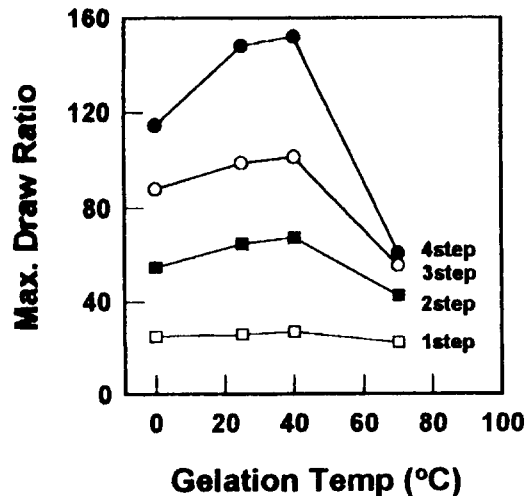


Fig. 8. Multi-step draw ratio as a function of gelation/crystallization temperature of 0.7%(W/V) UHMW PE solution.

결정화를 위한 용액의 냉각온도가 높은 경우에는 결정화에 따른 reeling in 효과가 나타나 분자쇄의 엉킴이 나사 풀어지는 현상(disentanglement)이 일어난다.

결국, 셀화/결정화 온도가 높아지는 것은 고분자 용액 농도가 낮아지는 효과와 같다고 볼 수 있다.

0.5% 농도에서 25°C가 가장 적당한 사슬영점을 가지게 하는 겔화/결정화 온도라고 볼 때, 0.3% 농도 필름에서는 25°C보다 낮은 0°C이하에서, 0.7% 농도의 경우에는 25°C보다 높은 40°C에서 겔화/결정화시킨 필름이 가장 적당한 사슬 영점을 가진다고 생각되어진다.

Fig. 5는 25°C에서 겔화/결정화 시킨 0.3%, 0.5%, 0.7%, 1% 농도 필름의 연신온도 130°C, 연신응력 4.5MPa, 띠열판 속도 10mm/min으로 변화 시켰을 때의 최대연신비이다.

농도별 최대연신비의 경향이 1회띠연신비의 경향과 일치하는 것으로 나타났다.

이것은 25°C에서 겔화/결정화시킨 필름의 경우는 0.5% 농도가 최대 연신을 위한 최적농도임을 나타낸다.

Fig. 6, Fig. 7, Fig. 8은 겔화/결정화 온도가 다른 겔필름을 연신온도 130°C, 연신응력 4.5MPa, 띠열판 속도 10mm/min으로 변화 시켰을 때의 다단계 띠연신을 통해 알아본 최대연신비이다.

각 단계별 띠연신의 경향 및 최대 연신비의 경향이 1회 띠연신비와 일치한다.

이것은 0.3% 농도에서는 0°C이하가, 0.5% 농도에서는 25°C가 0.7% 농도에서는 40°C가 최적 겔화/결정화 온도임을 나타낸다.

이것으로 볼 때 고분자 용액의 최적 농도 및 농도별 최적 겔화/결정화 온도의 결정은 1회 띠연신비의 측정으로 가능하다고 생각된다.

#### 4. 결론

제조된 겔 필름의 연신 거동을 관찰하여 다음과 같은 결론을 얻었다.

1. 25°C에서 겔화/결정화 시킨 필름의 경우 0.5% 농도 필름의 1회띠연신비 및 최대 연신비가 가장 높았으며, 0.3%로 농도가 내려가거나, 0.7% 및 1%로 농도가 증가할수록 연신비가 감소하는 경향을 나타내었다.
2. 농도별로 겔화/결정화 온도를 변화시켜 제조한 겔 필름의 경우에는 0.3% 농도에서는 0°C이하에서, 0.5%에서는 25°C에서, 0.7%농도에서는 40°C에서 제조한 겔 필름의 1회 띠연신비 및 최대연신비가 가장 높게 나타났다.

#### 5. 참고문헌

1. P. Smith, P. J. Lemstra and H. C. Booji, *J. Polym. Sci.; Polym. Phys. Ed.*, 19, 877 (1981).
2. P. J. Barham and A. Keller, *J. Mat. Sci.*, 20 (1985).
3. T. Kanamoto, A. Tsurata, K. Tanaka and R. S. Porter, *Polym. J.*, 15, 327 (1983).
4. M. Matsuo and C. Sawatari, *Macromolecules*, 19, 2028 (1986).
5. C. W. M. Bastiaansen, *J. Polym. Sci.; Polym. Phys. Ed.*, 28, 1475 (1990).
6. T. Ogita, N. Suzuki and Y. Kawahara, *Polymer*, 33, 698 (1992).
7. T. Kunugi and A. Suzuki, *J. Appl. Polym. Sci.*, 26, 1951 (1981)
8. B. C. Ji, W. S. Yoon and S. Y. Kim, *J. Korean Fiber soc.*, 30, 328 (1993)